



شبیه‌سازی جریان بر روی پرتابه‌های متقارن محوری با کاویتاتور دیسکی و نوک سوراخ‌دار به کمک روش‌های المان مرزی و حجم محدود

محمد غفاری^۱, محمود پساندیده فرد^{۲*}, محمود تباکی^۳

۱- دانشجوی کارشناسی ارشد، مهندسی مکانیک، دانشگاه فردوسی مشهد، مشهد

۲- دانشیار، مهندسی هوافضا، دانشگاه فردوسی مشهد، مشهد

۳- دانشجوی کارشناسی ارشد، مهندسی هوافضا، دانشگاه فردوسی مشهد، مشهد

* مشهد، صندوق پستی ۹۱۷۵۵-۱۱۱۱، fard_m@um.ac.ir

چکیده

در این مقاله جریان همراه با کاویتاسیون بر روی پرتابه‌های متقارن محوری با کاویتاتور سوراخ‌دار و بدون سوراخ با استفاده از روش‌های حجم کنتربال و المان مرزی شبیه‌سازی شده است. در روش عددی از رویکرد جریان تعادلی همگن استفاده شد، همچنین از مدل زوارت برای تکمیل دستگاه معادلات و مدل سازی انتقال جرم بهره گرفته شده است. در روش المان مرزی با توزیع دوگان روی سطح جسم و کاویتی و توزیع چشمی روی سطح کاویتی شرایط برای استفاده از تئوری گرین در حل جریان‌های پتانسیل فراهم گشت، همچنین جهت اضافه کردن اثرات سوراخ تعدادی چشمی بر روی سطح کاویتاتور قرار داده شد. اعتبارسنجی نتایج برای هر دو روش به وسیله روابط تحلیلی و داده‌های آزمایشگاهی صورت پذیرفته است. به طور کلی نتایج این کار تحقیقاتی در دو بخش ارائه می‌شود. در قسمت اول خواص هیدرودینامیک کاویتاتور سوراخ‌دار همچون ابعاد کاویتی، نیروهای هیدرودینامیکی و رفتار جریان با استفاده روش‌های مبتنی بر حل معادلات ناوبر استوکس مورد تجزیه و تحلیل قرار می‌گیرد. سپس در بخش بعد از روش المان مرزی برای تحلیل جریان کاویتاسیونی همراه با کاویتاتور سوراخ‌دار بر روی هندسه‌های کاپریدی در ابعاد واقعی استفاده می‌شود. از مهمترین نتایج این پژوهش می‌توان به کاهش ابعاد کاویتی و همچنین افزایش نیروی وارد بر پرتابه در جین استفاده از کاویتاتور سوراخ‌دار اشاره کرد. همچنین نیز برای حداکثر طول و قطر کاویتی تشکیل شده بر روی هندسه استوانه سرتخت نسبت به عدد کاویتاسیون و قطر سوراخ ارائه شده است.

اطلاعات مقاله

مقاله پژوهشی کامل

دریافت: ۲۱ شهریور ۱۳۹۵

پذیرش: ۰۶ آبان ۱۳۹۵

ارائه در سایت: ۲۹ آبان ۱۳۹۵

کلید واژگان:

روش عددی

روش المان مرزی

کاویتاتور سوراخ‌دار

پرتابه

Simulation of flow around axisymmetric projectiles with circular cavitator and ringed tip using control volume and boundary element methods

Mohammad Ghaffari, Mahmoud Pasandideh Fard^{*}, Mahmoud Tabaki

Department of Mechanical Engineering, Ferdowsi University of Mashhad, Mashhad, Iran
* P.O.B. 91755-1111 Mashhad, Iran, fard_m@um.ac.ir

ARTICLE INFORMATION

Original Research Paper
Received 11 September 2016
Accepted 27 October 2016
Available Online 19 November 2016

Keywords:
Numerical Method
Boundary Element Method
Ringed Cavitator
Projectile

ABSTRACT

In this article, cavitation flow around axisymmetric projectiles with ringed and non-ringed cavitator has been investigated using control volume and boundary element methods. In the numerical method, the homogeneous equilibrium approach as well as the zwart model, for modeling the mass transfer and forming the system of equation, have been used. In the boundary element approach with dipole distribution on the body and cavity surfaces and source distribution on the cavity surface, the right conditions were set for using the Green's theorem in solving the potential flow. Moreover, some source components were imposed on the cavitator surface in order to add the hole effects. The validation procedure for both methods has been done by analytical and experimental data. In general, the results of this research are presented in two parts. In the first part, hydrodynamic properties of ringed cavitator such as cavity dimensions, intended forces, flow behavior, etc are analysed deploying the numerical methods based on Navier Stokes equations. In the second part, the boundary element method has been used for analysis of the cavitation flow around practical geometries with ringed cavitator. The most important finding of this study is reduction of the cavity dimensions and also an increase in the force on the projectile during the use of annular cavitator. In addition, as a result of this study, two equations for maximum length and maximum diameter of the formed cavity on the cylindrical body in relation to the cavitation number and hole diameter have been provided.

دانشمندان مهندسی را به خود جلب کرده است. این پدیده هنگامی که فشار

استاتیکی محلی، در یک سیال سطحی به پایین تر از فشار بخار مایع در درجه

۱- مقدمه

Please cite this article using:

M. Ghaffari, M. Pasandideh Fard, M. Tabaki, Simulation of flow around axisymmetric projectiles with circular cavitator and boundary element methods, *Modares Mechanical Engineering*, Vol. 16, No. 12, pp. 67-78, 2016 (in Persian)

برای ارجاع به این مقاله از عبارت ذیل استفاده نمایید:

شامل کاویتاپیون روش جریان تعادلی همگن می‌باشد [1]. روش‌های جریان تعادلی همگن از مدل‌سازی یک سیال همگن برای دو فاز بهره می‌گیرند و یک مجموعه از معادلات را برای هر دو فاز (با خواص متفاوت در هر فاز) حل می‌کنند. شرط جریان تعادلی همگن معادل با شرط هم سرعت بودن (عدم لغزش بین دو فاز) و همدمای بودن در ناحیه تماس دو فاز است که برای مسائل مهندسی، این ساده‌سازی منطقی می‌باشد. روش‌های تعادلی همگن طیف وسیعی از مدل‌سازی کاویتاپیون را شامل می‌شوند. اختلاف کارهایی که بر مبنای مدل سیال همگن انجام شده بیشتر به دلیل روابط مختلفی است که برای تعریف میدان چگالی متغیر دو فاز استفاده شده‌اند. یک روش متداول برای محاسبه میدان چگالی، استفاده از معادله حالت ترمودینامیکی بخار – مایع می‌باشد. روش دیگر، حل معادله انتقال برای نسبت حجمی مایع (با بخار) به همراه جمله چشمی برای مدل‌سازی انتقال جرم بوده که در این روش چگالی مخلوط بر اساس نسبت حجمی هر فاز محاسبه می‌شود و در تحقیق حاضر مورد استفاده قرار گرفته است. از جمله مواردی که توجه به آن در این روش ضروری می‌باشد عبارتند از:

- انتخاب مدل مناسب انتقال جرم بین دو فاز که به صورت جمله‌ی چشمی در معادله انتقال ظاهر می‌شود؛ این مدل‌ها در فرض جمله چشمی تبادل جرم با هم تفاوت دارند و بر این اساس به دو دسته تقسیم می‌شوند. در دسته اول جمله چشمی بر مبنای تئوری رایلی محاسبه می‌گردد و در دسته دوم جمله چشمی بر اساس روابط تحلیل - عددی استخراج می‌شود. رابطه رایلی بر مبنای تعادل دینامیکی مکانیزم‌های فیزیکی مؤثر بر محیط حباب‌های کروی استخراج شده است و پدیده‌هایی مانند تبادل جرم و مومنتوم موضعی در اطراف مرز مشترک مایع - بخار در آن لحاظ نشده‌اند. برای اینکه مدل ریاضی کاویتاپیون قابلیت پیشگویی دقیق‌تری از این پدیده را داشته باشد، مدل‌هایی بر اساس روابط تحلیلی - عددی استخراج شده‌اند. در این مدل‌ها نزد انتقال جرم کانز [3] جمله تبخیر تابعی از فشار فرض شده‌اند. در مدل انتقال جرم کانز [3] جمله تبخیر تابعی از فشار فرض شده اما جمله چگالش به صورت تابعی از نسبت حجمی مایع تعریف شده است. در این پژوهش از مدل زوارت- گرب- بلماری [4] استفاده شده است که در قسمت بعد شرح داده می‌شود.

- انتخاب روش عددی حل معادله انتقال؛ دو روش کلی برای حل معادله انتقال نسبت حجمی وجود دارد که عبارتند از: 1) حل معادله انتقال فاز به همراه معادلات جریان و با روش عددی مشابه که به اختصار آن را روش مخلوط می‌نامند. 2) حل معادله انتقال با استفاده از تکنیک‌های خاص ریاضی سطح مشترک مانند روش نسبت حجمی سیال. روش‌های گفته شده هم برای کاویتاپیون طبیعی و هم کاویتاپیون هواهی شده قابل استفاده می‌باشند. در این پژوهش از روش مخلوط استفاده شده است. این روش از مدل جریان تعادلی همگن که در آن دو فاز به صورت یک سیال همگن در نظر گرفته می‌شوند استفاده می‌کند؛ بنابراین یک مجموعه از معادلات برای هر دو فاز حل می‌شود.

بسیاری از روش‌های پرکاربرد مدل‌سازی جریان کاویتاپیونی در

حرارت واقعی برسد، رخ می‌دهد. خطر به وجود آمدن کاویتاپیون تا زمانی که مناطق با گردیان بالای سرعت در سیال وجود داشته باشد، پا بر جاست. نیوتون نخستین کسی بود که در سال 1754 در حین آزمایش عدسهای محدب این پدیده را مشاهده نمود. برای اولین بار فرود به مظور بررسی نیروی پیشرانش در کشتی‌های جنگی و افزایش سرعت پروانه‌ها آزمایش‌هایی انجام داده و این پدیده را کاویتاپیون نامید که از ریشه‌ای یونانی به معنای حفره گرفته شده است. این پدیده به طور معمول در سیستم‌های هیدرولیکی مانند توربین‌ها، پروانه‌ها، پمپ‌ها، سد رودخانه‌ها، دریچه‌ها، موتورها، سیستم‌های لوله‌کشی و سیستم‌های سرد کننده راکتور بوقوع می‌پیوندد. در تمام این موارد کاویتاپیون عموماً یک پدیده نامطلوب است که ترجیحاً نباید تشکیل شده یا حداقل کنترل شود. با این وجود کاویتاپیون در برخی موارد مانند تمیز کننده‌های فراصوت، برش سنگ، کاربردهای پیشکی و پرتاپهای زیر سطحی بسیار سودمند خواهد بود.

به طور کلی پدیده کاویتاپیون، مانند هر پدیده دیگری، توسط روش‌های تئوری، تجربی و عددی مورد بررسی قرار می‌گیرد. از این بین روش‌های تجربی هزینه بالایی داشته و نیاز به تجهیزات و امکانات خاصی دارد، همین امر باعث شده است که استفاده از این روش‌ها محدود به برخی مراکز خاص گردد. به همین دلیل در سال‌های اخیر شبیه‌سازی با استفاده از روش‌های عددی و تئوری پیشرفته چشمگیری داشته و مورد توجه محققان قرار گرفته است. روش‌های عددی که به نوعی همان روش‌های مبتنی بر حل معادلات ناوبر استوکس در حوزه اطراف هندسه می‌باشند، می‌توانند با دقت بالایی جریانات کاملاً را نسبت به اثرات مختلف اعمال سوراخ، بر خواص جریان کاویتاپیونی ارائه داده و ما را در دستیابی به درک درستی از این پدیده یاری کنند. در کنار این مزیت منحصر به فرد، استفاده از این روش‌ها از لحاظ زمانی بسیار پرهزینه می‌باشد. به عنوان مثال در تحلیل جریان همراه با کاویتاپیون با استفاده از روش‌های عددی، به ازای هر عدد کاویتاپیون خاص یک دور فرایند استقلال از شبکه باید انجام گیرد و شبیه‌سازی به صورت جداگانه صورت پذیرد. از طرف دیگر، روش‌های تئوری دقیقاً دارای عکس این خواص هستند، چرا که این روش‌ها می‌توانند در مدت زمان بسیار کمتری (کمتر از ۱%) جریان کاویتاپیونی را در دامنه وسیعی از اعداد کاویتاپیون حل کنند، اما از سوی دیگر اطلاعات کمتری نیز در اختیار ما قرار می‌دهند.

بسیاری از پرتاپهای هوایی و دریایی برای پیمودن مسیرهای طولانی از سیستم محركه رمحت استفاده می‌کنند. رمحت از جریان عبوری استفاده کرده و نیروی جلوبرندگی قابل توجهی تولید می‌کند. همچنین، در پرتاپهای زیر سطحی که از موتورهای احتراق داخلی جهت تأمین نیروی مورد نیاز برای حرکت خود استفاده می‌کنند، از سیال ورودی در مصارفی همچون تأمین مکمل‌های مورد نیاز سوخت، تولید بخار برای تزریق در اطراف کاویتی و خنک کاری سیستم احتراقی استفاده می‌شود. بدین منظور در این گونه از پرتاپهای تزریق آب پایدار از مرکز کاویتاپور به داخل پرتاپهای جزو نکات بسیار مهم و قابل توجه می‌باشد.

با توجه به مطالب ذکر شده، هدف از این تحقیق بررسی خواص هیدرودینامیک اکویتاپور سوراخدار می‌باشد. به این منظور با توجه به مزیت‌های دو رویکرد عددی و تئوری که به نحوی تکمیل کننده یکدیگر می‌باشند، از هر دو روش در این پژوهش استفاده شده است.

1-1- روش عددی

یکی از روش‌های حل عددی معادلات ناوبر - استوکس برای جریان‌های

همکاران [16] در سال 2008 مقایسه‌ای بین روش نسبت حجمی سیال و المان مرزی در شبیه‌سازی کاویتاسیون بر روی اجسام متقارن محوری انجام دادند. آنها نتایج کار خود را با داده‌های تجربی مقایسه کرده و دقت بالای روش المان مرزی را گزارش دادند. نوروزی و همکاران [17] نیز در سال 2016 جریان همراه با کاویتاسیون را بر روی هندسه‌هایی با مقاطع دایروی و بیضوی با زوایای حمله شبیه‌سازی کرده و قابلیت این روش را در برخورد با مسائل سه بعدی اثبات کردند.

با توجه به داشتن نگارنده، تاکنون از روش المان مرزی برای بررسی اثرات سوراخ استفاده نشده است. از طرفی سرعت بالای همگرایی این روش و کارایی بالای آن در برخورد با مسائل صنعتی در ابعاد واقعی می‌تواند بسیار مفید باشد. بنابراین در این پژوهش از روش المان مرزی در کنار روش عددی برای بررسی خواص هیدرودینامیک کاویتاتور سوراخ دار استفاده شده است.

2- معادلات حاکم و شیوه حل آنها

همان‌طور که در بخش قبل بیان شد روش‌های متداول در بررسی پدیده کاویتاسیون روش‌های بر پایه جریان پتانسیل و روش‌های عددی مبتنی بر حل معادلات ناویر- استوکس می‌باشند. ملاحظه شد که در میان روش‌های بر پایه جریان پتانسیل، روش المان مرزی به دلیل سرعت و دقت بالا مورد توجه محققان زیادی قرار گرفته است. همچنین با توجه به پیشرفت‌های قابل ملاحظه‌ی دینامیک سیالات محاسباتی در حل مسایل مختلف و افزایش توانایی محاسباتی رایانه‌ها، محققان زیادی از روش‌های عددی برای حل جریان کاویتاسیونی استفاده کرده‌اند. در این بخش معادلات حاکم و شیوه حل برای هر دو روش ذکر خواهد شد.

2-1- روش عددی

در رویکرد جریان تعادلی همگن مجموعه‌ای از معادلات برای هر دو فاز حل می‌شود. معادله بقای جرم برای مخلوط مطابق رابطه (1) می‌باشد:

$$\frac{\partial \rho_m}{\partial t} + \vec{\nabla} \cdot (\rho_m \vec{U}_m) = 0 \quad (1)$$

که \vec{U}_m بردار سرعت متوسط سیال است و ρ_m چگالی مخلوط که به صورت رابطه (2) تعریف می‌شود:

$$\rho_m = \alpha_v \rho_v + \alpha_g \rho_g + (1 - \alpha_v - \alpha_g) \rho_l \quad (2)$$

در این رابطه α_v کسر حجمی فاز بخار، α_g کسر حجمی گازهای غیرقابل چگالش، ρ_v چگالی بخار، ρ_g چگالی گازهای غیرقابل چگالش و ρ_l چگالی مایع هستند. معادله مومنتم برای مخلوط از جمع مومنتم هر یک از فازها بدست می‌آید و به صورت معادله (3) نوشته می‌شود:

$$\frac{\partial(\rho_m \vec{U}_m)}{\partial t} + \rho_m (\vec{U}_m \cdot \vec{\nabla}) \vec{U}_m = -\vec{\nabla}(p_m) + \vec{\nabla} \cdot (\bar{\tau} + \bar{\tau}_t) + \vec{g} + \vec{f} \quad (3)$$

که p بیانگر فشار، g بیانگر شتاب جاذبه، f نیروی حجمی و $\bar{\tau}$ تانسور تنش است. برای شبیه‌سازی کاویتاسیون به همراه معادلات بیان شده، یک معادله انتقال برای فاز بخار یا مایع نیز حل می‌شود. در کاویتاسیون طبیعی انتقال جرم بین فاز بخار و مایع بوسیله ترمهای چشممه در این معادله در نظر گرفته می‌شوند. یکی از معروف‌ترین و دقیق‌ترین مدل‌ها که در نرم‌افزار تجاری فلوئنت نیز موجود است، مدل زوارت- گربر- بلماری [4] است. در این مدل فرض می‌شود که تمام حباب‌های درون سیستم اندازه یکسانی دارند. زوارت و همکاران، در این مدل نرخ انتقال جرم کلی مرز فاز بر واحد حجم (R) را به صورت معادله (4) پیشنهاد کرده‌اند، که با استفاده از نرخ تغییر جرم

نرم‌افزارهای تجاری، همچون سی اف ایکس¹ و فلوئنت قرار داده شده‌اند. در سال‌های اخیر استفاده از این نرم‌افزارها در شبیه‌سازی عددی کاویتاسیون طبیعی و مصنوعی بسیار رایج شده است. از آن جمله می‌توان به کارهای بین کاویتاسیون طبیعی و مصنوعی را پشت اجسام متقارن محوری با استفاده از یک مدل سه مؤلفه‌ای بر پایه معادله انتقال جرم با موفقیت شبیه‌سازی نمودند. کنستانتن و همکاران [6] معادلات مربوط به انتقال جرم سیال را بهبود بخشیده و آن را دونون کد تجاری سی اف ایکس پیاده‌سازی کرده و در مقایسه با داده‌های آزمایشگاهی دقت بیشتری را در مدل‌سازی کاویتاسیون گزارش کرده‌اند. روحی و همکاران [7] و پندرار و روحی [8] به بررسی مدل‌های انتقال جرم متفاوت با معادلات آشفتگی مختلف با نرم‌افزار اپن فوم پرداختند و بیان کردند که مدل انتقال جرم کانز ترکیب شده با مدل آشفتگی گردابهای بزرگ نتایج مناسبی ارائه می‌دهد.

در زمینه بررسی کاویتاتور سوراخ دار کار اندکی انجام شده است که از این بین تنها می‌توان به کار جینگ و همکاران [9] اشاره کرد، آنها با استفاده از کد تجاری سی اف ایکس به بررسی پارامترهای مختلف تزریق آب در یک کاویتاتور سوراخ دار تحت کاویتاسیون طبیعی پرداختند. آنها شبیه‌سازی خود را در رژیم کاویتاسیون گسترش انجام دادند. با توجه به اینکه در پرتابه‌های کاربردی واقعی کاویتی بر روی بدن بسته می‌شود و انتهای جسم در معرض جریان سیال قرار دارد، در پژوهش حاضر اثرات اعمال سوراخ در رژیم کاویتاسیون جزئی مورد تحلیل و ارزیابی قرار گرفته است. همچنین پارامترهای جدیدی همچون انجنا در لبه ورودی سوراخ، نوسانات فشار و غیره نیز به مجموعه نتایج اضافه شده است.

2-2- روش المان مرزی

مسئله جریان پتانسیل می‌تواند توسط روش المان مرزی حل شود. در این روش توزیعی از عناصر جریان پتانسیل (گردابه، چاه، دابلت و دوگان) روی مرز جریان قرار داده می‌شود. در سال 1987 اهلمن [10] نخستین کسی بود که از روش المان‌های مرزی غیرخطی بر مبنای سرعت (با استفاده از توزیع گردابه در مرز جریان) برای حل جریان کاویتاسیون جزئی بر روی هیدروفویل استفاده نمود و دو سال بعد [11]. همان روش را برای حل جریان سوپرکاویتاسیون به کار برد. کیناس و فاین [12] در سال 1991 یک روش المان مرزی غیر خطی بر مبنای پتانسیل برای حل جریان کاویتاسیون جزئی بر روی هیدروفویل ارائه نمودند. آنها با توزیع چشممه و چاه در مرز جریان و استفاده از انتگرال گرین به حل این مسئله پرداختند. این روش از حیث همگرایی بر روی مبنای بر سرعت برتری دارد.

نتایج عمده برای مدل‌سازی کاویتاسیون سه بعدی در نهایت توسط فاین و کیناس [13] در سال 1993 به دست آمد. آنها تحقیق اولیه خود را روی کاویتی جزئی انجام دادند. اثرات ویسکوزیته نیز در همان سال توسط کیناس [14] با بکارگیری روش المان مرزی غیر خطی در شبیه‌سازی سوپرکاویتاسیون لحاظ گردید. در این تحقیق نقطه جدایی کاویتی با توجه به ویسکوزیته و عدد رینولدز روی طول آن، پیش‌بینی شده و حجم کاویتی بر اساس عدد کاویتاسیون داده شده بررسی گردید. او تحقیق خود را بر روی کاویتی‌های دو بعدی و سه بعدی انجام داد. از مدل المان مرزی با استفاده از تابع گرین برای بررسی کاویتاسیون جزئی بر روی هندسه‌های متقارن محوری توسط وارگیز و همکارانش [15] در سال 2003 استفاده شده است. رشیدی و

¹ CFX

همان طور که در شکل 1 مشاهده می شود بر روی سطح جسم توزیعی از رینگ دوگان و بروی سطح کاویتی توزیعی از رینگ دوگان و چشممه استفاده می شود، همچنین برای شبیه سازی سوراخ از توزیع چشممه با قدرت منفی بر روی کاویتاتور استفاده می شود. از آنجا که این عناصر جریان پتانسیل معادله خطی لاپلاس را ارضاء می کنند، برای حل مساله نیازی به حل معادله لاپلاس نیست، فقط کافی است که شرایط مرزی را در انتگرال گیرین اعمال نمود.

2-1-2-2- شرایط مرزی

(الف) شرط مرزی سینماتیکی بر روی سطح جسم و کاویتی: بر اساس شرط نفوذ ناپذیری سطح، جریان هیچ مؤلفه عمودی بر سطح جسم ندارد. همچنین فرض می شود که جریان هیچ مؤلفه عمودی بر سطح کاویتی نیز نداشته باشد. این بدان معناست که جهت جریان بر روی سطح جسم و کاویتی، صرفاً در راستای موازی این سطوح است. بنابراین روش سطح جسم و سطح کاویتی می توان رابطه (9) را نوشت:

$$\frac{\partial \phi}{\partial n} = 0 \quad (9)$$

(ب) شرط مرزی دینامیکی: چون جریان حول کاویتی به مقدار زیادی غیر چرخشی می باشد، می توان معادله برنولی را برای محاسبه فشار استفاده کرد. بنابراین با فرض فشار کاویتی ثابت و اعمال معادله برنولی بین یک نقطه جریان آزاد و نقطه ای روی مرز کاویتی و سپس انتگرال گیری از آن و اعمال رابطه $x_s = \cos(\theta_j)$ در راستای s ، می توان رابطه (10) را نوشت:

$$\varphi = \varphi_0 + \sqrt{1 + \sigma}(x - x_0) \quad (10)$$

که φ_0 و x_0 به ترتیب پتانسیل، طول قوس و موقعیت نقطه شروع کاویتی روی جسم می باشند. نکته ای که ذکر آن مناسب می باشد این است که با توجه به اینکه ضریب فشار روی کاویتی به صورت C_p است $(p - p_\infty)/0.5\rho V_\infty^2$ تعریف می شود و با در نظر گرفتن تعریف عدد کاویتاسیون، ملاحظه می شود که روی مرز کاویتی ضریب فشار قرینه عدد کاویتاسیون می باشد:

$$\sigma = -C_p \quad (11)$$

(ج) شرط مرزی سوراخ: برای شبیه سازی سوراخ بر روی کاویتاتور چشممه با قدرت معلوم قرار داده می شود، که همان معرف سرعت باشد. بنابراین فرض می شود که سیال با سرعت V_{ring} وارد سوراخ شود، به گونه ای که نسبت به سرعت جریان آزاد بدون بعد شده باشد. بنابراین:

$$\frac{\partial \varphi}{\partial n} = -x_n - V_{ring} \quad (12)$$

2-2-2- صورت انتگرالی معادله حاکم

با اعمال شرایط مرزی سینماتیکی و دینامیکی و همچنین شرط مرزی سوراخ، معادله (7) برای سطح جسم و کاویتی به ترتیب به صورت معادلات (13) و (14) نوشتہ می شود:

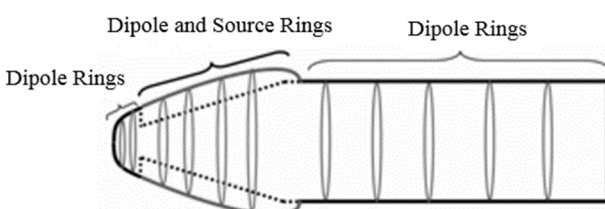


Fig.1 Source and dipole distribution on the body and cavity boundaries

شکل 1 توزیعی از رینگ دوگان و چشممه در مرز جسم و کاویتی

یک حباب محاسبه می شود.

$$R = F \frac{3\alpha\rho_v}{\Re_B} \sqrt{\frac{2|P_B - P|}{3\rho_1}} \text{sign}(P_B - P) \quad (4)$$

که در آن \Re_B شعاع حباب، P_B فشار حباب و P_1 فشار سیال می باشند. F نیز یک ضریب اصلاح تجربی است که چگونگی تعیین آن برای کاویتاسیون طبیعی در پژوهش های دیگر [18] گزارش شده است.

برای تکمیل دستگاه معادلات نیاز به یک مدل جریان مغشوش نیز می باشد که در این پژوهش از مدل $\epsilon - k$ استاندارد استفاده شده است. در این مدل معادلات ترانسپورت مربوط به انرژی جنبشی (k) و نرخ اتلافات (ϵ) به ترتیب به صورت معادلات (5) و (6) محاسبه می شوند:

$$\frac{\partial}{\partial t} (\rho k) + \frac{\partial}{\partial x_i} (\rho k u_i) = \frac{\partial}{\partial x_j} \left[\left(\mu + \frac{\mu_t}{\sigma_k} \right) \frac{\partial k}{\partial x_j} \right] + G_k + G_b + \rho \epsilon - Y_M + S_k \quad (5)$$

$$\frac{\partial}{\partial t} (\rho \epsilon) + \frac{\partial}{\partial x_i} (\rho \epsilon u_i) = \frac{\partial}{\partial x_j} \left[\left(\mu + \frac{\mu_t}{\sigma_\epsilon} \right) \frac{\partial \epsilon}{\partial x_j} \right] + C_{1\epsilon} \frac{\epsilon}{k} (G_k + C_{3\epsilon} G_b) - C_{2\epsilon} \rho \frac{\epsilon^2}{k} + S_\epsilon \quad (6)$$

که در آنها G_k نمایانگر تولید انرژی جنبشی توربولانسی به دلیل گرادیان سرعت متوسط، G_b نمایانگر تولید انرژی جنبشی توربولانسی به دلیل اثرات بویانسی، Y_M نشان دهنده سهم نوسانات در جریان اغتشاشی تراکم پذیر نسبت به اتلافات کلی و $C_{3\epsilon}$ مقادیر ثابت می باشند.

2-2- روشهای مان مرزی

پایه اصلی روشهای مان مرزی، جریان پتانسیل می باشد، لذا در صورتی می توان از روشهای مان مرزی برای تحلیل کاویتاسیون استفاده نمود که ثابت شود جریان کاویتاسیون پتانسیلی است. آزمایش های تجربی نشان می دهد که جریان در اطراف کاویتی با تقریب خوبی پتانسیلی است [19]. لذا می توان از تئوری های پتانسیل برای شبیه سازی کاویتاسیون حول اجسام استفاده نمود. روشهای مان مرزی حاضر، براساس تئوری گرین [20] بنا شده است. تئوری گرین بیان می کند که: هر جریان غیرچرخشی تراکم ناپذیر را می توان با یک توزیع چشممه، گردابه یا دوگان روی سطوح مقید آن شبیه سازی نمود. این تئوری در تحلیل جریان همراه با کاویتاسیون حول اجسام سه بعدی با تقارن محوری به صورت معادله (7) نوشتہ می شود:

$$2\pi\varphi(r, x) = \iint \left\{ \frac{\partial \varphi}{\partial n} G(x, r; \xi, \rho) - \varphi(r, x) \frac{\partial G(x, r; \xi, \rho)}{\partial n} \right\} \rho d\xi d\rho ds \quad (7)$$

که در آن n بردار عمود بر سطوح، s طول کمان طی شده روی سطوح، r و ρ مؤلفه های دستگاه مختصات متقاضن محوری و توابع G و φ به ترتیب توابع پتانسیل یک رینگ چشممه و دوگان و φ پتانسیل اختلالی است شده روی سطوح حل هستند. تابع پتانسیل اختلالی φ ، تابع پتانسیلی است که اثر همه اجزای پتانسیل در یک نقطه به جز اثر پتانسیل جریان آزاد را در خود دارد. در روابط فوق، رابطه توزیع پتانسیل کلی \emptyset و توزیع پتانسیل اختلالی φ به صورت معادله (8) در نظر گرفته شده است:

$$\emptyset = \vec{U}_\infty \vec{X} + \varphi \quad (8)$$

که در آن U_∞ سرعت جریان آزاد گذرنده از روی سطح هندسه می باشد. انتگرال گرین که در فوق به آن اشاره شد گویای این مطلب است که می توان جریان همراه با کاویتاسیون حول اجسام متقاضن محوری را از بر همنهی توزیع رینگ دوگان و چشممه با جریان آزاد شبیه سازی کرد. برای این منظور

سرخست، مقایسه شده است. رابطه تجربی مذکور به صورت معادله (15) نوشته می‌شود:

$$L_c = \left(\frac{0.751}{\sigma} \right)^{1/0.75} \quad (15)$$

مالحظه می‌شود که نتایج روش المان مرزی با نتایج تجربی مطابقت مناسبی دارد و توانایی آن را جهت مدل سازی کاویتاسیون جزئی در اطراف اجسام مقارن محوری و پیش‌بینی طول کاویتی با دقت مناسب، تأیید می‌کند. روند افزایش طول کاویتی با کاهش عدد کاویتاسیون در این شکل را می‌توان این گونه توجیه نمود که کاهش عدد کاویتاسیون منجر به کاهش اختلاف فشار جشار آزاد و فشار درون کاویتی می‌گردد و این باعث می‌شود که گرادیان فشار کمتری در جریان ایجاد شده و خطوط جریان انحنای کمتری داشته باشند؛ لذا تمایل دارند موازی خطوط جریان بالادست رفتار کمتری باشند؛ این می‌تواند افزایش عدد کاویتی با افزایش عدد کاویتاسیون یا کاهش طول کاویتی رفتار کاویتی به سمت کاویتاسیون ابری میل می‌کند و باعث رفتار نوسانی در طول کاویتی می‌شود. با توجه به اینکه روش المان مرزی حاضر توانایی مدل سازی کاویتاسیون به صورت ناپایرا را ندارد، مشاهده می‌شود در اعداد کاویتاسیون بزرگ نتایج حاضر در مقایسه با نتایج تجربی کمی خطا دارد و در اعداد کاویتاسیون کوچکتر به دلیل رفتار نسبتاً پایدار کاویتی، خطا کمتر می‌شود.

همچنین نتایج دو روش المان مرزی و عددی با نتایج آزمایشگاهی ارائه شده توسط رز [22] برای طول کاویتی تشکیل شده در اطراف استوانه سرخست در عدد کاویتاسیون 0.3 در شکل 3 مقایسه شده‌اند. مشاهده می‌شود که هر دو روش تغییرات فشار را به خوبی نشان داده و طول کاویتی (طول ناحیه با ضریب فشار 0.3-) را بدقت شبیه‌سازی می‌کنند. در روش المان مرزی به دلیل استفاده از مدل بستن ساده در انتهای کاویتی یک افزایش فشار در انتهای کاویتی دیده می‌شود که این اتفاق در روش حجم کنترل دیده نمی‌شود. البته این افزایش فشار تا زمانی که کاویتی روی بخش افقی اجسام بسته شود خطایی در محاسبه ضریب پسا ایجاد نمی‌کند.

3-2- بررسی کاویتاتور سوراخ‌دار با استفاده از روش عددی

در این بخش اثرات سوراخ با استفاده از روش عددی مورد تحلیل و ارزیابی قرار می‌گیرد. هندسه مورد بررسی به همراه ابعاد آن در شکل 4 نشان داده شده است. هندسه مورد نظر شامل یک بخش استوانه‌ای به همراه یک مخروط ناقص و همچنین کاویتاتور دیسکی می‌باشد. به منظور بررسی کاویتاتور سوراخ‌دار لوله ای با ابعاد متغیر در مرکز کاویتاتور نصب می‌شود که در شکل نیز نشان داده شده است.

با توجه به مقارن محوری بودن مسأله از یک صفحه تقارن برای کاهش زمان محاسباتی استفاده شده است. محیط محاسباتی و شرایط مرزی در شکل 5 نشان داده شده‌اند.

دامنه محاسباتی بر اساس تجربیات موجود در منابع مختلف [8,7] و شبیه‌سازی‌های انجام شده در این تحقیق انتخاب شده است. از شرط مرزی سرعت برای ناحیه ورودی و از شرط فشار برای قسمت انتهایی حوزه حل بهره گرفته شده است. در بخش خارجی حوزه حل جهت جلوگیری از اضافه شدن اثرات دامنه شرط مرزی تقارن در نظر گرفته شده، چرا که این شرط مرزی در جریان‌های لزج به نحوی همان خصوصیات دیوار بدون تنش برشی را تداعی می‌کند. بدنه ازدر، ناحیه مخروطی و کاویتاتور نیز دارای شرط مرزی دیوار می‌باشند. صفحه انتهای لوله نیز به عنوان خروجی در نظر گرفته شده و با

$$\begin{aligned} & 2\pi\varphi + \iint_{S_{b_1}+S_{b_2}+S_r} \varphi \frac{\partial G}{\partial n} dS - \iint_{S_c} \frac{\partial \varphi}{\partial n} G dS \\ & + \iint_{S_c} \sqrt{1+\sigma}(s-s_0) \frac{\partial G}{\partial n} dS + \varphi_0 \iint_{S_c} \frac{\partial G}{\partial n} dS \\ & = \iint_{S_{b_1}+S_{b_2}} (-x_n) G dS + \iint_{S_r} (-x_n - V_{ring}) G dS \\ & + \iint_{S_c} (x-x_0) \frac{\partial G}{\partial n} dS \end{aligned} \quad (13)$$

$$\begin{aligned} & \iint_{S_{b_1}+S_{b_2}+S_r} \varphi \frac{\partial G}{\partial n} dS - \iint_{S_c} \frac{\partial \varphi}{\partial n} G dS + \varphi_0 \iint_{S_c} \frac{\partial G}{\partial n} dS \\ & + \iint_{S_c} \sqrt{1+\sigma}(s-s_0) \frac{\partial G}{\partial n} dS + 2\pi\varphi_0 \\ & + 2\pi\sqrt{1+\sigma}(s-s_0) = \iint_{S_{b_1}+S_{b_2}} (-x_n) G dS \\ & + \iint_{S_r} (-x_n - V_{ring}) G dS + \iint_{S_c} (x-x_0) \frac{\partial G}{\partial n} dS \\ & + 2\pi(x-x_0) \end{aligned} \quad (14)$$

3- نتایج

در این بخش نتایج مربوط به تحلیل جریان بر روی کاویتاتور سوراخ‌دار و بدون سوراخ با استفاده از روش‌های تئوری و عددی در دو قسمت ارائه می‌شوند. با توجه به اینکه روش المان مرزی تنها ناحیه سطح جسم و کاویتی را مدل سازی می‌کند، به منظور دستیابی به جزییات بیشتر از تواحی مختلف جریان، در قسمت اول از حل معادلات حاکم بر جریان به کمک روش‌های عددی در تمام حوزه اطراف جسم استفاده شده است. این امر علاوه بر اینکه راه مدل سازی جریان اطراف کاویتاتور سوراخ‌دار به روش المان مرزی را هموار می‌کند، به نحوی مرجع مناسبی برای اعتبارسنجی نتایج این روش در برخورد با اثرات سوراخ می‌باشد. در قسمت دوم نتایج مربوط به روش المان مرزی ارائه شده و دلیل استفاده از این روش به تفصیل بیان می‌گردد.

لازم به ذکر است که تمام مقادیر ارائه شده در این تحقیق بر اساس پارامترهای ارائه شده در جدول 1 بدون بعد شده‌اند. (به جز نیرو که دارای واحد نیوتون N می‌باشد)

3-1- اعتبارسنجی

برای ارزیابی میزان دقت نتایج بدست آمده توسط روش‌های المان مرزی و عددی در این پژوهش، اطمینان از صحت این نتایج و اعتبار بخشی به روش استفاده شده، در این قسمت مقایسه‌ای بین نتایج تحقیق حاضر و نتایج تحلیلی و تجربی موجود صورت پذیرفته است. به منظور بررسی روش المان مرزی بر مبنای پتانسیل در پیش‌بینی طول کاویتی مربوط به رژیم کاویتاسیون جرئی، در شکل 2 نتایج این روش با نتایج رابطه تجربی ارائه شده توسط بیلت و ویر [21] برای طول کاویتی تشکیل شده در اطراف استوانه

جدول 1 بی بعد سازی متغیرها

Table 1 Nondimensionalizing the variables

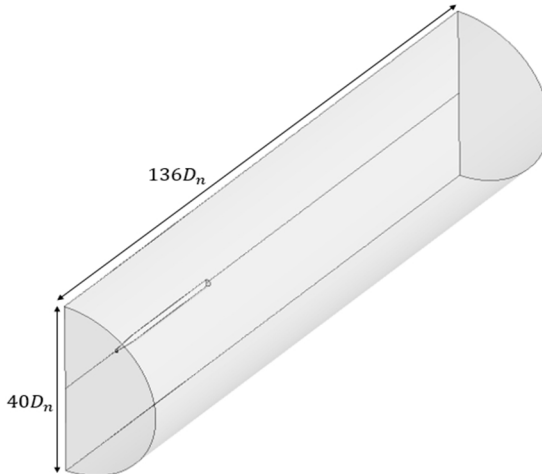
کمیت	پارامتر بی بعد سازی	پارامتر بی بعد سازی
حداکثر طول کاویتی L	D_n	قطر کاویتاتور
حداکثر قطر کاویتی D	D_n	قطر کاویتاتور
قطر سوراخ D	D_n	قطر کاویتاتور
موقعیت مکانی X	D_n	قطر کاویتاتور
سرعت V	V_0	سرعت جریان آزاد
فشار P	P_0	فشار کاری
دبی Q	$V_0 D_n^2$	

شبکه پکار رفته در نزدیکی سطح جسم هم به علت وجود گرادیان‌های شدید در خواص سیال (سرعت، فشار، دانسیته و غیره) ریزتر از سایر قسمت‌ها در نظر گرفته شده است.

مهمترین مسئله‌ای که در انجام شبیه‌سازی‌های عددی بر مبنای معادلات ناپیر استوکس باید مد نظر قرار گیرد بحث استقلال از شبکه می‌باشد. در این مقاله مطالعه کاملی بر روی شبکه انجام گرفته که نتایج آن در جدول 2 نشان داده شده است. از دو معیار ابعاد کاویتی و نیروی وارد بر کاویتاتور برای بررسی روند تغییرات استفاده شده است. مشاهده می‌شود اختلاف بین شبکه چهارم و پنجم بسیار کم بوده، بنابراین شبکه چهارم با حدود 2700000 سلول محاسباتی به عنوان شبکه مطلوب انتخاب شده است.

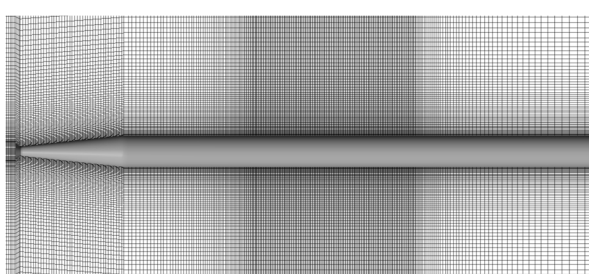
در ادامه از 8 هندسه مختلف به منظور مقایسه نتایج بهره گرفته شده که به ترتیب با حروف A تا G مشخص شده‌اند به گونه‌ای که حالت A مربوط به نمونه اصلی و بدون سوراخ می‌باشد. نمونه‌های بررسی شده همگی دارای هندسه‌ای یکسان بوده (شکل 4) و فقط در قطر و انحنای ورودی سوراخ با یکدیگر تفاوت دارند. با توجه به اینکه انتهای لوله ورودی جریان به محفظه احتراق متصل می‌شود، فشار در این ناحیه بسیار بالا است و می‌تواند مقادیر مختلفی داشته باشد. بنابراین علاوه بر اعمال تغییرات هندسی، از سه فشار مختلف نیز برای انتهای لوله استفاده شده است.

هندسه‌های مختلف در سه پارامتر قطر، انحنای لبه ورودی سوراخ و فشار انتهای لوله انتقال با یکدیگر تفاوت دارند. مقادیر در نظر گرفته شده برای هر کدام از این سه حالت به همراه کد مشخص کننده آن در جدول 3 آورده شده است. همچنین جزئیات هندسی 8 نمونه انتخاب شده، جهت بررسی اثرات متنوع کاویتاتور سوراخدار در جدول 4 ارائه شده است.



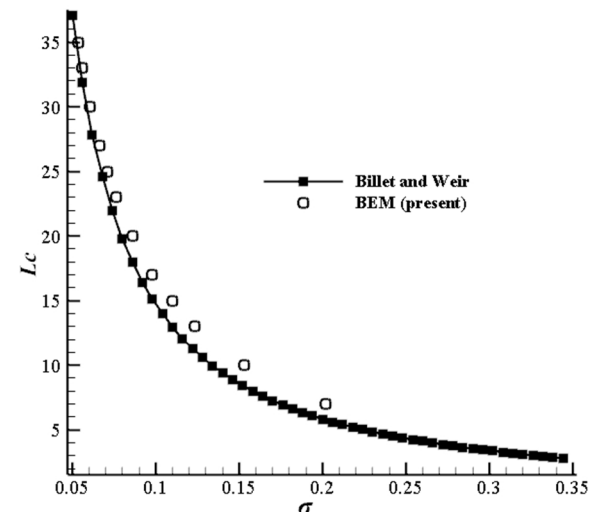
شکل 5 دامنه محاسباتی

شکل 5 دامنه محاسباتی



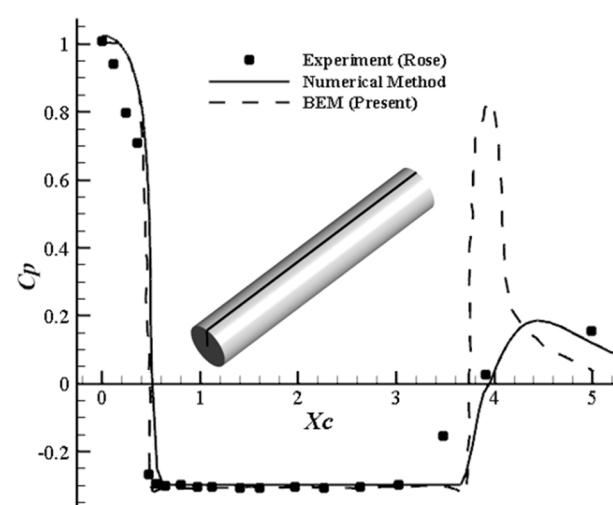
شکل 6 شبکه محاسباتی در اطراف پرتابه

شکل 6 شبکه محاسباتی در اطراف پرتابه



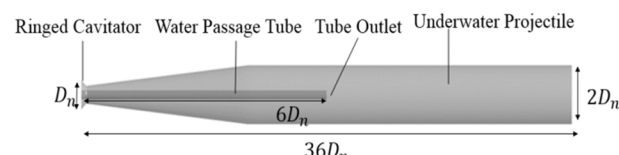
شکل 2 مقایسه نتایج روش المان مزدی با رابطه تجربی بیلت و ویر [21]

طول کاویتی



شکل 3 تغییرات ضریب فشار بر روی استوانه، مقایسه نتایج روش‌های تئوری و عددی

با نتایج تجربی [22]



شکل 4 هندسه پرتابه به همراه ابعاد آن

شکل 4 هندسه پرتابه به همراه ابعاد آن

توجه به بالا بودن فشار در این قسمت به علت واکنش‌های احتراقی فشاری معادل چند برابر فشار کاری لحظه گردیده است.

به منظور بررسی دقیق پدیده کاویتاسیون شبکه‌بندی کاملاً منظم اطراف جسم در نظر گرفته شده است. شبکه استفاده شده در منطقه بسته شدن کاویتی ریزتر از سایر نقاط در نظر گرفته شده، چراکه استفاده از این روش موجب کاهش شدید تعداد شبکه می‌گردد. شبکه استفاده شده در اطراف پرتابه در شکل 6 نشان داده شده است. با توجه به شکل ملاحظه می‌شود،

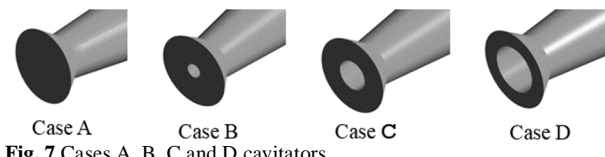
افزایش نیروی اصطکاکی می‌شود.

شکل 8 مؤلفه‌های فشاری و اصطکاکی نیرو را برای نمونه‌های مختلف نمایش می‌دهد. در این شکل علاوه بر افزایش نیروی اصطکاکی وارد بر پرتابه به علت کاهش طول کاویتی، افزایش مؤلفه فشاری نیرو به ازای افزایش قطر سوراخ نیز مشاهده می‌شود. با توجه به اینکه سهم عمدات از نیروی فشاری وارد بر پرتابه مربوط به کاویتاتور می‌باشد، برای بررسی علت افزایش نیرو، تغییرات ضریب فشار بر روی کاویتاتور برسی می‌شود. توزیع ضریب فشار بر روی کاویتاتور به ازای قطرهای مختلف سوراخ در شکل 9 آورده شده است. همان‌طور که مشاهده می‌شود حلقه سکون که مکان هندسی تمرکز نیرو می‌باشد با افزایش قطر سوراخ به سمت لبه کاویتاتور حرکت می‌کند. این امر موجب افزایش گستره اعمال نیرو و در نتیجه افزایش نیروی وارد بر پرتابه می‌شود. کانتور توزیع ضریب فشار نیز که جابجایی حلقه سکون را به خوبی نمایش می‌دهد در شکل 10 آورده شده است. بنابراین به طور کلی استفاده از سوراخ دو اثر منفی کاهش طول کاویتی و افزایش نیروی وارد بر پرتابه را با خود به همراه دارد.

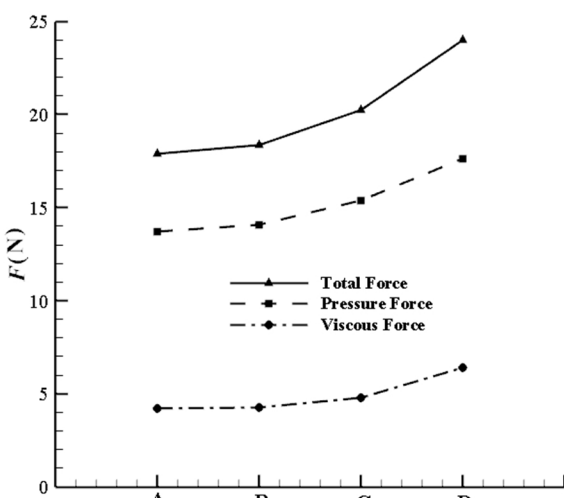
با توجه به تعریف دبی حجمی طبق رابطه

$$Q = VA \quad (16)$$

افزایش سرعت (V) یا سطح مقطع (A) موجب افزایش دبی می‌گردد. دبی‌های بدون بعد مختلف برای سه هندسه، B، C و D به همراه متوسط سرعت بدون بعد عبوری از سوراخ در جدول 6 آورده شده‌اند. همان‌طور که مشاهده می‌شود افزایش قطر سوراخ موجب افزایش دبی عبوری از لوله انتقال شده است. نکته قابل توجه در این قسمت مربوط به رابطه بین افزایش دبی و سطح مقطع می‌باشد. با توجه به اعداد مندرج در جدول مشاهده می‌شود که با 3 برابر کردن قطر سوراخ دبی حجمی 12 برابر شده است. علت اصلی این پدید افزایش سرعت در ناحیه ورودی می‌باشد که با افزایش قطر سوراخ رابطه مستقیم دارد. بنابراین در طراحی کاویتاتورهای سوراخدار باید به این نکته



شکل 7 کاویتاتور نمونه‌های A، B، C و D



شکل 8 مؤلفه‌های مختلف نیرو وارد بر نمونه‌های A، B، C و D

جدول 2 ابعاد کاویتی و ضریب پسای وارد بر کاویتاتور برای شبکه‌های مختلف

Table 2 Cavity dimensions and drag coefficient on the cavitator for different grids

C_d	D_c	L_c	تعداد شبکه	شبکه
0.9	3.48	16.5	900000	شبکه 1
0.886	4.4	20	1500000	شبکه 2
0.861	4.56	21.4	2100000	شبکه 3
0.86	4.6	23	2700000	شبکه 4
0.857	4.62	23.3	3300000	شبکه 5

جدول 3 مقادیر در نظر گرفته شده برای قسمت‌های مختلف (بدون بعد)

Table 3 Values intended for different parts

کد	قطر سوراخ	شعاع لبه ورودی	فشار انتهای لوله
3	2	0.2	
0.6	0.4	0	
0.12	0.06	3	
9	6		

جدول 4 کدهای در نظر گرفته شده برای نمونه‌های مختلف

Table 4 Codes intended for different cases

نمونه	کد قطر ورودی	کد شعاع لبه ورودی	کد فشار انتهای لوله
Case A	-	-	-
Case B	1	1	1
Case C	1	1	2
Case D	1	1	3
Case E	1	2	2
Case F	1	3	2
Case G	2	1	2
Case H	3	1	2

در ادامه اثر تغییرات اعمال شده در هندسه‌های مختلف بر پارامترهای متنوع جریان کاویتاسیونی همچون ابعاد کاویتی و نیروی وارد بر پرتابه در سه بخش مختلف مورد تحلیل و ارزیابی قرار می‌گیرند.

3-1-2-3- بررسی اثر تغییر در قطر لوله

در این قسمت سه هندسه، B، C و D که به ترتیب دارای سوراخ با اقطار 40% و 20% قطر کاویتاتور هستند مورد بررسی قرار می‌گیرند. کاویتاتورهای این سه هندسه به همراه نمونه بدون سوراخ در شکل 7 نشان داده شده‌اند.

نتایج مربوط به ابعاد کاویتی در جدول 5 ارائه شده است. با توجه به جدول مشاهده می‌شود با افزایش قطر لوله، طول و قطر کاویتی کاهش پیدا می‌کند به گونه‌ای که با سه برابر کردن قطر لوله در حالت D نسبت به B طول و قطر کاویتی به ترتیب به اندازه 19% و 16% کمتر شده است که مقادیر قابل توجهی می‌باشند، همچنان مشاهده می‌شود که ابعاد کاویتی در حالت‌های مختلف کاویتاتور سوراخ دار همواره کمتر از حالت بدون سوراخ است. این کاهش طول موج افزایش سطح تماس سیال با بدنه و در نهایت

جدول 5 ابعاد کاویتی برای نمونه‌های A، B، C و D

Table 5 Cases A, B, C and D cavity dimensions

نمونه	Case A	Case B	Case C	Case D
L_c	23	22.3	21	18
D_c	4.6	4.4	4.28	3.7

این پدیده ایجاد انحنا در لبه ورودی سوراخ می‌باشد. با توجه به گزارش منتشر شده توسط انجمن مهندسی آمریکا [23] میزان تلفات در جریان‌هایی با خواص انقباض ناگهانی به ازای نسبت شعاع لبه ورودی به قطر لوله در جدول 7 آورده شده است.

که در آن r شعاع لبه ورودی، D قطر لوله و K پارامتری بی بعد جهت تعیین میزان تلفات می‌باشد. با توجه به جدول کمترین تلفات زمانی است که $r/D > 0.15$ باشد. بنابراین در این تحقیق از مقادیر نشان داد شده در شکل 11 برای جلوگیری از تلفات جریان در ورودی لوله استفاده شده است.

ابعاد کاویتی تشکیل شده بر روی هندسه‌های C، E و F در جدول 8 آورده شده است. همان‌طور که مشاهده می‌شود ایجاد انحنا در لبه ورودی سوراخ تأثیر اندکی بر طول و قطر کاویتی تشکیل شده دارد.

مهمترین موضوع در طراحی کاویتاتور سوراخ‌دار فراهم کردن شرایطی است که سیال به آرامی و با کمترین تلفات به داخل پرتاپه منتقل شود. بهترین پارامتری که می‌تواند میزان نوسانات جریان داخل لوله انتقال سیال را نشان دهد، شدت توربولانسی است. این پارامتر به عنوان معیار مناسبی جهت تعیین میزان اغتشاشات جریان شناخته شده و به صورت رابطه (17) تعریف می‌گردد:

$$I = \frac{U}{U} \quad (17)$$

که در آن U ریشه مربع سرعت‌های نوسانی توربولانسی و U سرعت متوسط جریان است. مقادیر میانگین شدت توربولانسی در طول لوله انتقال، که بر اساس شدت تلاطم جریان ورودی بدون بعد شده است برای نمونه‌های C و E به ترتیب 0.55 و 0.25 می‌باشد. همان‌طور که مشاهده می‌شود با ایجاد انحنا در لبه ورودی شدت اغتشاشات در داخل لوله حدود 54% کمتر شده است که مقدار قابل توجهی می‌باشد.

3-2-3- بررسی اثر فشار در انتهای لوله

در پرتاپهای زیر سطحی از سیال کاری برای انجام امور مختلفی مانند خنک‌کاری سیستم پیشرانش، تأمین مکمل‌های مورد نیاز جهت احتراق و تأمین بخار برای تزریق در ابر کاویتی استفاده می‌شود. آن دسته از پرتاپهایی

جدول 7 ضریب تلفات در جریان‌هایی با خواص انقباضی نسبت به هندسه [23]

$0.15 \leq$	0.06	0.02	r/D
0.04	0.15	0.28	K

جدول 8 ابعاد کاویتی برای نمونه‌های C، E و F

Case F	Case E	Case C	نمونه
20.8	20.8	21	L_c
4.28	4.28	4.28	D_c

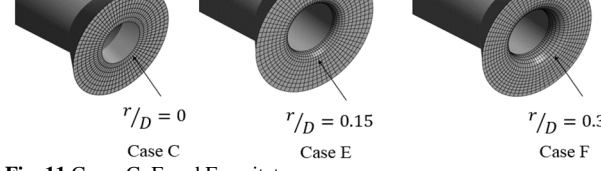
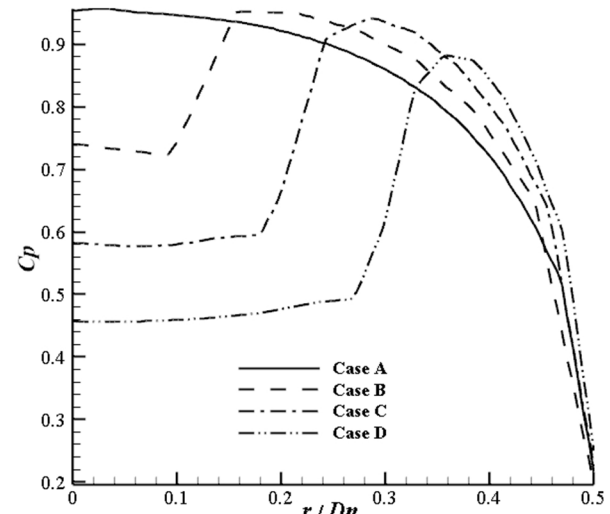
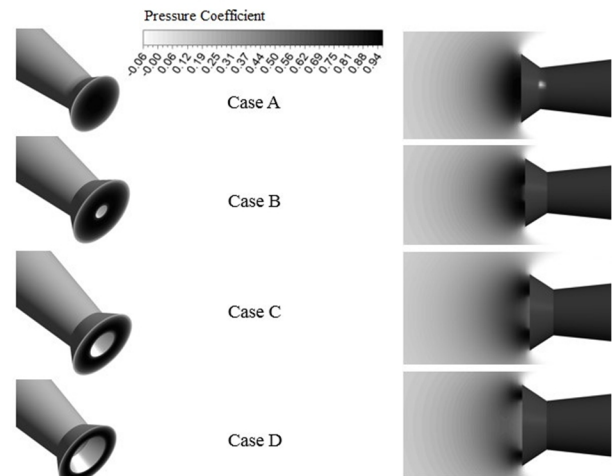


Fig. 11 Cases C, E and F cavitators

شکل 11 کاویتاتور نمونه‌های C، E و F



شکل 9 ضریب فشار بر روی کاویتاتور نمونه‌های A، B، C و D



شکل 10 کانتور ضریب فشار بر روی کاویتاتور و اطراف آن برای نمونه‌های A، B، C و D

جدول 6 دی جرمی عبوری از سوراخ و متوسط سرعت جریان در ناحیه ورودی مربوط به نمونه‌های C، B و A

Case E	Case D	Case B	نمونه
180	71.3	14.8	q
0.66	0.58	0.5	V_c

توجه داشت که اندکی افزایش قطر تأثیر بسیار بالای در حجم سیال عبوری از لوله انتقال دارد.

3-2-2- بررسی اثر انحنا لبه ورودی

همان‌طور که در قسمت قبل بیان شد ناحیه ورودی لوله به دلیل وجود انقباض ناگهانی سبب ایجاد گردانیان فشار بالا در این منطقه می‌شود. این امر ممکن است در لحظات ابتدایی حرکت پرتاپه زیر سطح آب تا رسیدن به سرعت‌های بالا موجب بوجود آمدن کاویتاسیون در داخل لوله و کاهش دبی سیال مورد نیاز جهت پیشرانش پرتاپه گردد. یک راهکار جهت جلوگیری از

شده است. همان‌طور که مشاهده می‌شود از لحاظ ابعاد کاویتی و نیروی وارد بر کاویتاتور روش المان مرزی به ترتیب 11.5% و 14% با روش عددی اختلاف دارد که با توجه به فرضیات ساده کننده‌ای که در این روش در نظر گرفته می‌شود، مقدار قابل توجهی نیست. همچنین در بخش اعتبارسنجی روش المان مرزی نشان داده شد که هر چه عدد کاویتاسیون کمتر باشد، دقت این روش بالاتر است، بنابراین در صورتی که مقایسه در اعداد کاویتاسیون کوچکتری انجام شود این اختلاف هم کمتر خواهد شد. روش المان مرزی ضریب پسا وارد بر کاویتاتور را نیز با اندکی اختلاف نسبت به روش عددی گزارش می‌دهد.

مقایسه‌ای بین زمان همگرایی روش‌های تئوری و عددی قابلیت روش المان مرزی و علت استفاده از آن را به خوبی نشان می‌دهد. در جدول 11 تعداد شبکه مورد استفاده و زمان همگرایی دو روش المان مرزی و عددی برای نمونه انجام گرفته در بخش قبل با یکدیگر مقایسه شده است. رایانه پردازش‌گر استفاده شده برای هر دو روش یکسان می‌باشد. همان‌گونه که مشاهده می‌شود تعداد المان‌های روش المان مرزی حدوداً 3400 برابر کمتر از تعداد شبکه‌های مورد استفاده در روش عددی می‌باشد. این تفاوت قابل توجه در تعداد المان‌ها، منجر به تفاوت بسیار زیادی در سرعت همگرایی می‌شود، به گونه‌ای که سرعت همگرایی روش المان مرزی حدود 187 برابر سرعت همگرایی روش عددی می‌باشد.

جدول 10 خواص هیدرودینامیک کاویتی، مقایسه روش‌های تئوری و عددی

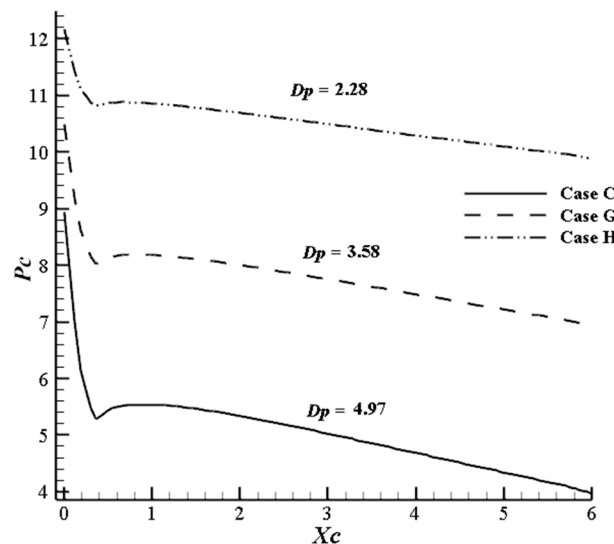
Table 10 Hydrodynamic properties of cavity, comparison of theoretical and numerical methods

C_d	D_c	L_c	روش حل
1	4.1	26	المان مرزی
0.9	4.6	23	عددی (فلوئنت)

جدول 11 تعداد شبکه و زمان همگرایی روش‌های تئوری و عددی

Table 11 The number of grids and convergence time of theoretical and numerical methods

زمان همگرایی (دقیقه)	تعداد المان	روش حل
15	800	المان مرزی
2800	2700000	عددی (فلوئنت)



شکل 12 تغییرات فشار در داخل لوله انتقال سیال مربوط به نمونه‌های C، G و H

که سیال مصرفی خود را از محیط اطراف و از طریق کاویتاتور وارد می‌کنند به وسیله لوله انتقال، آن را به بخش‌های میانی بدنه منتقل می‌کنند. فشار کاری در این نواحی وابسته به شرایط کاری سیستم‌های داخلی بوده و به عنوان یکی از پارامترهای طراحی به حساب می‌آید. در این پژوهش از سه فشار کاری مختلف برای هندسه‌های C، G و H استفاده شده است که به ترتیب 3، 6 و 9 برابر فشار محیط می‌باشند. فشار مورد نظر بر روی صفحه انتهایی لوله انتقال اعمال شده است. ابعاد کاویتی، نیروی وارد بر پرتایه، دبی بدون بعد عبوری از سوراخ و سرعت بدون بعد در ناحیه ورودی برای این سه هندسه در جدول 9 آورده شده‌اند.

همان‌طور که مشاهده می‌شود افزایش فشار در انتهای کاویتی تأثیر چندانی بر ابعاد کاویتی نداشته به گونه‌ای که با 3 برابر کردن فشار انتهای لوله تنها 2% کاهش طول مشاهده می‌شود. با توجه به تغییر اندازی که در طول کاویتی ایجاد شده نیروی وارد بر پرتایه هم تقریباً بدون تغییر باقی می‌ماند. همچنین مشاهده می‌شود که دبی حجمی عبوری از سوراخ با افزایش فشار انتهای لوله کاهش پیدا کرده است که با توجه به ثابت بودن قطر سوراخ، کاهش سرعت در ناحیه ورودی دلیل اصلی این رویداد خواهد بود، که خود این کاهش سرعت نیز به دلیل رشد میدان فشار در ناحیه ورودی می‌باشد. نمودار تغییرات فشار در طول لوله انتقال سیال نیز برای این سه حالت در شکل 12 رسم شده است. همان‌طور که مشاهده می‌شود با افزایش فشار انتهای لوله میزان افت فشار در داخل لوله کاهش قابل توجهی پیدا می‌کند. در این حالت، با افزایش 3 برابری فشار در نمونه H نسبت به C میزان افت فشار 54% کمتر شده است که این امر از دیدگاه طراحی بسیار حائز اهمیت است.

3-3- بررسی کاویتاتور سوراخ‌دار با استفاده از روش المان مرزی

در بخش گذشته خواص هیدرودینامیک کاویتاتور سوراخ‌دار با استفاده از حل معادلات حاکم بر جریان به روی روش عددی بررسی شد و اطلاعات جامعی در مورد اثرات سوراخ بدست آمد. در این بخش از روش المان مرزی بر پایه پتانسیل برای حل جریان بر روی پرتایه با کاویتاتور سوراخ‌دار استفاده می‌شود، همچنین دلیل استفاده از این روش نیز ذکر می‌گردد.

قبل از ارائه نتایج لازم است عدم وابستگی دقت حل به تعداد گره‌های شبکه، مورد ارزیابی قرار گیرد. در شکل 13 استقلال حل از تعداد المان‌های توزیع شده بر روی پرتایه مورد نظر در عدد کاویتاسیون 0.065 بر اساس معیار عدد کاویتاسیون بررسی شده است (در این بخش هم از هندسه قسمت قبل، شکل 4، استفاده شده است). با توجه به این شکل ملاحظه می‌گردد با افزایش تعداد المان‌ها نتایج تغییرات نتایج کمتر شده و حل به سمت یک مقدار مشخص پیش می‌رود. در این حالت اگر تعداد المان‌ها از 800 بیشتر شود، جواب مستقل از شبکه خواهد بود.

در ابتدا مقایسه ای بین نتایج روش المان مرزی و روش عددی بر روی پرتایه با کاویتاتور بدون سوراخ انجام می‌گیرد. این مقایسه می‌تواند به نحوی قابلیت روش المان مرزی در تحلیل هندسه‌های کاربردی را به نمایش بگذارد. جزئیات ابعاد کاویتی و ضریب پسا وارد بر کاویتاتور در جدول 10 آورده

جدول 9 خواص هیدرودینامیکی کاویتی نمونه‌های C، G و H

Table 9 Hydrodynamic properties of cavity for cases C, G and H

Case H	Case G	Case C	هندسه
20.6	20.6	21	L_c
4.28	4.4	4.28	D_c
53	62.8	71.3	q
0.42	0.5	0.58	V_c

ابعاد کاویتی تشکیل شده به ازای هر دو روش در جدول 12 ارائه شده‌اند. در این قسمت هم مانند بخش قبل (کاویتاتور سوراخ‌دار) نتایج بین 13% تا 15% اختلاف دارند. کاویتی تشکیل شده اطراف دماغه هندسه نیز در شکل 15 نشان داده شده است.

3-3-1- تغییرات ابعاد کاویتی در اعداد کاویتاسیون مختلف

مهمترین خروجی که از بررسی هر هندسه‌ای در جریان کاویتاسیونی باید گرفته شود مربوط به تعیین ابعاد کاویتی در گستره وسیعی از اعداد کاویتاسیون است. در شکل 16 طول و قطر بدون بعد کاویتی برای پرتابه مورد نظر با قطر بدون بعد سوراخ 0.4 برای اعداد کاویتاسیون 0.049 تا 0.47 نشان داده است. همچنین هندسه کاویتی تشکیل شده بر روی پرتابه نیز به ازای دو عدد کاویتاسیون مختلف در شکل 17 نشان داده شده است.

در روش المان مرزی با اضافه و کم کردن تعداد چشممه‌های بر روی کاویتاتور می‌توان قطرهای مختلف سوراخ را در اعداد کاویتاسیون مختلف شبیه‌سازی کرد. در این قسمت اثرات مربوط به سوراخ با اندازه‌های مختلف در عدد کاویتاسیون 0.1 بررسی شده است. شکل 18 توزیع ضریب فشار بر روی کاویتاتورهای مختلف را نمایش می‌دهد. همان‌طور که مشاهده می‌شود در اینجا هم مانند روش عددی با افزایش قطر سوراخ حلقه سکون به سمت لبه کاویتاتور حرکت می‌کند. طول و قطر کاویتی تشکیل شده بر روی پرتابه در جدول 13 قرار داده شده‌اند. مشاهده می‌شود با افزایش قطر لوله ابعاد کاویتی کاهش پیدا می‌کند. همچنین هندسه کاویتاتورهای مختلف نیز برای این حالت در شکل 19 نشان داده شده‌اند.

در این بخش روش المان مرزی به طور کامل برای مدل‌سازی سوراخ استفاده شد و نتایج آن با داده‌های عددی موجود تطبیق پیدا کرد، حال زمان آن است که مهمترین کاربرد این روش ارائه گردد. با توجه به سرعت بالای

جدول 12 ابعاد کاویتی، مقایسه روش‌های تئوری و عددی

Table 12 Cavity dimensions, comparison of theoretical and numerical methods

D_C	L_C	روش حل
4.1	24	المان مرزی
4.3	21	عددی (فلوئنت)

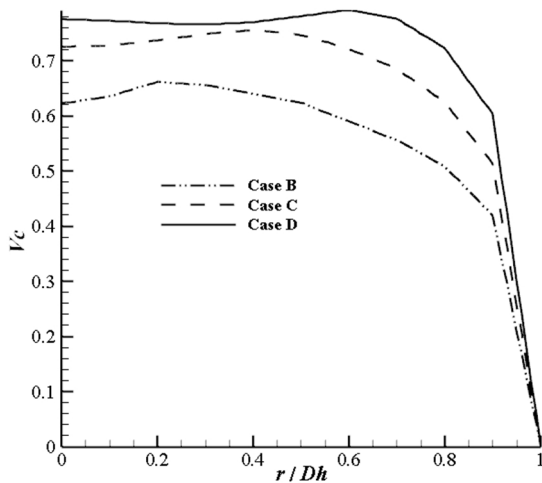
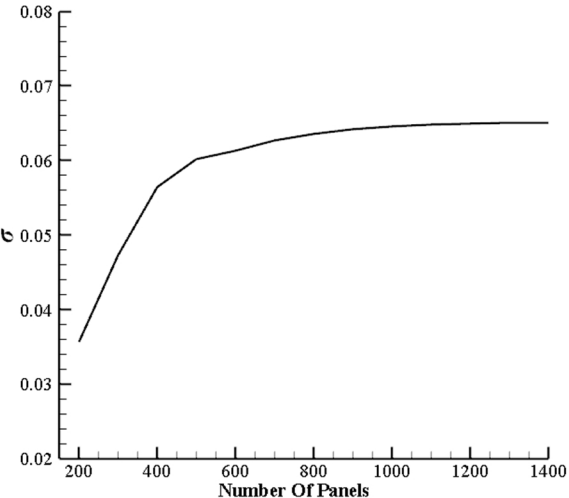


Fig. 14 Velocity profile obtained by numerical method at the entrance of the hole for cases B, C and D

شکل 14 پروفیل سرعت در ناحیه ورودی سوراخ حاصل از روش عددی مربوط به نمونه‌های B, C و D



شکل 13 تأثیر تعداد پتل‌ها بر عدد کاویتاسیون
Fig. 13 The effect of number of panels on cavitation number

از آنجا که روش المان مرزی بر اساس فرضیه جریان پتانسیل بنا شده است و همچنین معادلات این روش فقط بر روی مرز جسم و کاویتی اعمال می‌شوند، این روش قادر به تعیین گرادیان فشار و یا سرعت در نواحی مختلف جریان نمی‌باشد. از طرفی ناحیه ورودی سوراخ به دلیل وجود انقباض ناگهانی و اصطکاک شدید داخل لوله دارای نوسانات بسیار بالایی می‌باشد، بنابراین در حین استفاده از روش المان مرزی تعیین قدرت چاه قرار گرفته بر روی سوراخ با مشکلاتی همراه است، چراکه در این روش به منظور شبیه‌سازی عبور جریان از سوراخ، سرعت جریان ورودی (همان قدرت چاه) به عنوان شرط مرزی معلوم در معادلات جایگذاری می‌شود، بنابراین باید مقدار آن قبل از حل مسئله معلوم باشد. بنابراین برای درک بهتر ماهیت جریان در ناحیه ورودی، پروفیل‌های سرعت بدست آمده از روش عددی به ازای قطرهای مختلف سوراخ در شکل 14 آورده شده‌اند. توجه شود در این شکل محور افقی که نشان دهنده تغییرات مکانی در جهت شعاع کاویتاتور می‌باشد، برای هر هندسه بر اساس قطر سوراخ همان هندسه بدون بعد شده است.

همان‌طور که مشاهده می‌شود هر سه پروفیل نسبتاً تخت بوده که به دلیل مغلووش بودن جریان به خصوص در ناحیه ورودی می‌باشد. همچنین سرعت در مرکز سوراخ در حدود 20 تا 30 درصد کمتر از سرعت جریان آزاد می‌باشد که این امر نیز به دلیل گرادیان بالای فشار در این منطقه است. بنابراین می‌توان نتیجه گرفت که برای ناحیه ورودی می‌باشد پروفیل سرعت مغلووش استفاده کرد. معادلات پروفیل سرعت برای نمونه‌های B, C, D و F به ترتیب به صورت می‌باشند. که در آنها $\frac{r}{Dh}$ متغیر بدون بعد مکانی شعاع سوراخ r و پروفیل سرعت بدون بعد عبوری از سوراخ می‌باشد. با توجه به اینکه معادلات مذکور نسبت به قطر سوراخ و سرعت جریان آزاد بدون بعد شده‌اند و همچنین با توجه به این که الگوی پروفیل سرعت برای تمام حالت به صورت تخت و یکسان می‌باشد، می‌توان از هر کدام از پروفیل‌های سرعت بیان شده در مجموعه‌ای از حالات مختلف استفاده کرد. چرا که روش المان مرزی بیشتر تابع تعداد پتل‌ها و چگونگی ترکیب مؤلفه‌های جریان پتانسیلی است و اعمال تغییرات در سرعت ناحیه ورودی تأثیر چندانی بر ابعاد کاویتی ندارد.

$$\begin{aligned} V_{ring} &= -(4.2 \times 10^{-5})e^{9.5y_r} + 0.65e^{-0.1y_r} && \text{Case B} \\ V_{ring} &= -(5.4 \times 10^{-5})e^{9.5y_r} + 0.73e^{0.018y_r} && \text{Case C} \\ V_{ring} &= -(4.3 \times 10^{-6})e^{12.2y_r} + 0.76e^{0.05y_r} && \text{Case D} \end{aligned} \quad (18)$$

و قطر سوراخ ارائه می‌گردد. برای دستیابی به این هدف داده‌های مشابه شکل 16 برای این هندسه در اقطار مختلف سوراخ تولید می‌شوند، سپس معادله‌ای برای آنها نوشته می‌شود. باید توجه کرد که در این حالت برخلاف معادلات گذشته، یک متغیر وابسته (طول و یا قطر کاویتی) و دو متغیر مستقل (قطر سوراخ و عدد کاویتاسیون) وجود دارند، بنابراین بجای خط، صفحه‌ای بر آنها برازش می‌گردد.

معادلات (19) و (20) حداکثر طول و قطر کاویتی را برای هندسه مورد نظر در گستره $\sigma < D_h < 0.9$ و $0.018 < \sigma < 0.1$ ارائه می‌دهند.

$$L_c = -1492 \sigma^2 D_h - 9.3 \times 10^5 \sigma^3 + 155 \sigma D_h + 1.6 \times 10^5 \sigma^2 - 5.35 D_h - 9548 \sigma + 224.5 \quad (19)$$

$$D_c = -40.9 \sigma^2 D_h - 2.08 \times 10^4 \sigma^3 + 5.119 \sigma D_h + 3797 \sigma^2 - 0.294 D_h - 254.3 \sigma + 9.73 \quad (20)$$

4- نتیجه‌گیری و جمع‌بندی

در این مقاله، با استفاده از روش‌های عددی و المان مرزی بر پایه پتانسیل، جریان همراه با کاویتاسیون به صورت سه بعدی بر روی پرتتابه‌های کاربردی با کاویتاتور سوراخ‌دار شبیه‌سازی شده است. در روش عددی از رویکرد جریان

جدول 13 ابعاد کاویتی تشکیل شده بر روی پرتتابه نسبت به قطرهای مختلف سوراخ حاصل از روش المان مرزی

Table 13 Dimensions of the formed cavity on the projectile with different diameter using BEM

$D_h = 0.88$	$D_h = 0.56$	$D_h = 0.2$	$D_h = 0.0$	قطر سوراخ
12.5	13.4	14.1	14.8	L_c
3	3.08	3.16	3.3	D_c

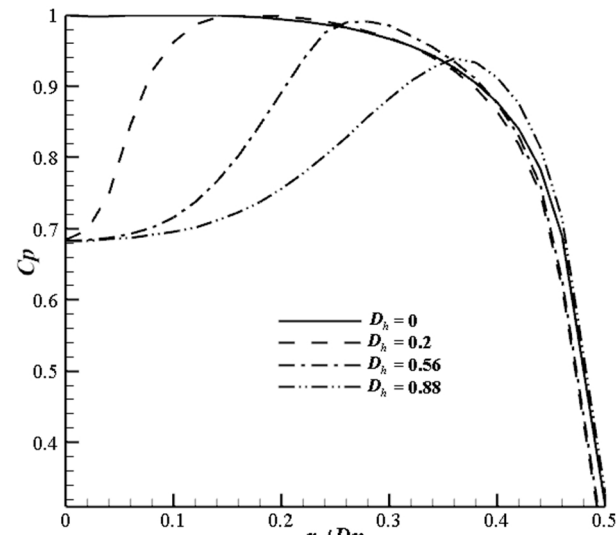


Fig. 18 ضریب فشار بر روی کاویتاتور سوراخ‌دار با اقطار مختلف حاصل از روش المان مرزی

شکل 18 ضریب فشار بر روی کاویتاتور سوراخ‌دار با اقطار مختلف حاصل از روش المان مرزی

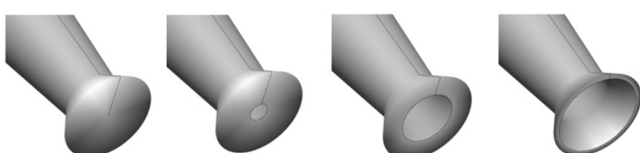


Fig. 19 Different holes created on the cavitator

شکل 19 سوراخ‌های مختلف ایجاد شده بر روی کاویتاتور

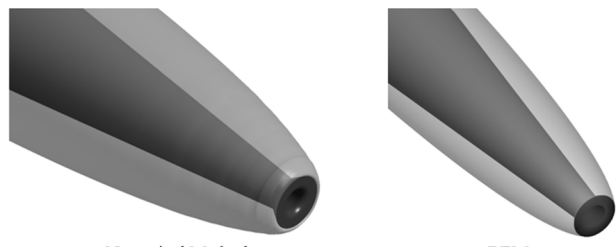


Fig. 15 The formed cavity around the nose by theoretical and numerical methods

شکل 15 کاویتی تشکیل شده اطراف دماغه به وسیله روش‌های تئوری و عددی

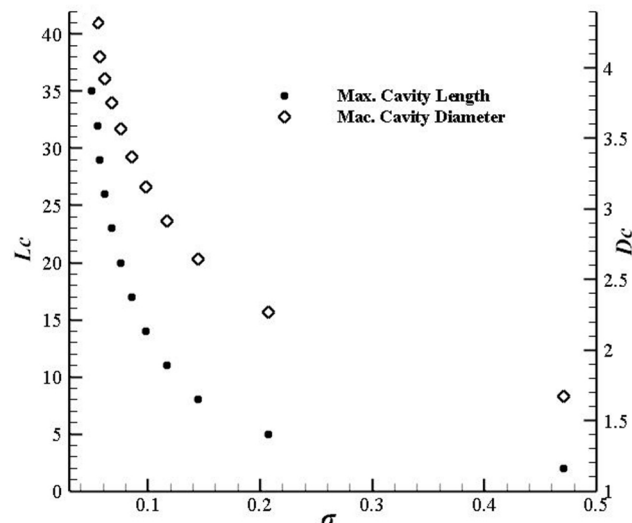


Fig. 16 ابعاد کاویتی تشکیل شده بر روی پرتتابه با کاویتاتور سوراخ‌دار به قطر 0.4 به روش المان مرزی

شکل 16 ابعاد کاویتی تشکیل شده بر روی پرتتابه با کاویتاتور سوراخ‌دار به قطر 0.4 به روش المان مرزی

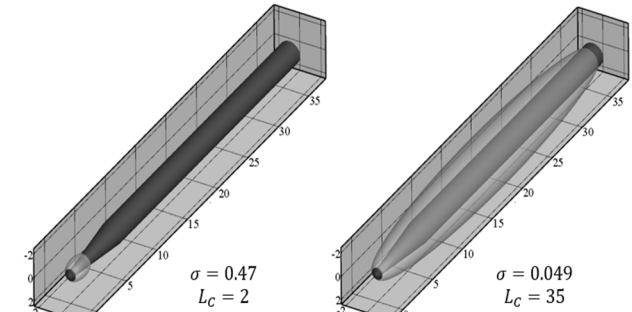


Fig. 17 هندسه کاویتی تشکیل شده بر روی پرتتابه با کاویتاتور سوراخ‌دار (قطر بدون سوراخ 0.4) با استفاده از روش المان مرزی

شکل 17 هندسه کاویتی تشکیل شده بر روی پرتتابه با کاویتاتور سوراخ‌دار (قطر بدون سوراخ 0.4) با استفاده از روش المان مرزی

روش المان مرزی در همگرایی و تعیین ابعاد کاویتی می‌توان با استفاده از این روش در مدت زمان کوتاهی معادله‌ای برای ابعاد کاویتی بر روی هندسه‌های مختلف با کاویتاتور سوراخ‌دار نسبت به قطر سوراخ و عدد کاویتاسیون ارائه کرد. با استفاده از این معادله محققان می‌توانند به راحتی با جایگذاری عدد کاویتاسیون و قطر سوراخ مورد نظر ابعاد کاویتی را محاسبه کنند. با توجه به اینکه هندسه کاویتی تشکیل شده بر روی پرتتابه با کاویتاتور سوراخ‌دار در زمینه بررسی کاویتاسیون می‌باشد، در ادامه روابطی برای تعیین حداکثر طول و ضخامت بدون کاویتی تشکیل شده بر روی آن نسبت به عدد کاویتاسیون

- cavitation dynamics, *Fifth International Conference on Multiphase Flow*, Yokohama, Japan, June 1-4, 2004.
- [5] J. Bin, L. Xian-Wu, Z. Yao, R. Hong-Juan, X. Hong-Yuan, W. Yu-Lin, A three-component model suitable for natural and ventilated cavitation, *Chinese Physics Letters*, Vol. 27, No. 9, pp. 96-101, 2010.
- [6] S. Y. Konstantinov, D. V. Tselischev, V. A. Tselischev, Numerical cavitation model for simulation of mass flow stabilization effect in ANSYS CFX, *Modern Applied Science*, Vol. 9, No. 4, pp. 21-35, 2014.
- [7] E. Roohi, M. Pendar, A. Rahimi, Simulation of three-dimensional cavitation behind a disk using various turbulence and mass transfer models, *Applied Mathematical Modelling*, Vol. 40, No. 1, pp. 542-564, 2016.
- [8] M. Pendar and E. Roohi, Investigation of cavitation around 3D hemispherical head-form body and conical cavitators using different turbulence and cavitation models, *Ocean Engineering*, Vol. 112, No. 51, pp. 287-306, 2016.
- [9] Z. Jiang, M. Xiang, M. Lin, W. Zhang, S. Zhang, Research on hydrodynamic properties of annular cavitator with water injection, *Polish Maritime Research*, Vol. 19, No. 4, pp. 11-15, 2012.
- [10] J. S. Uhlman, The surface singularity method applied to partially cavitating hydrofoils, *Journal of Ship Research*, Vol. 10, No. 4, pp. 40-55, 1987.
- [11] J. S. Uhlman, The surface singularity or boundary integral method applied to supercavitating hydrofoils, *Journal of Ship Research*, Vol. 33, No. 1, pp. 16-20, 1989.
- [12] S. Kinnas and N. Fine, Non-linear analysis of the flow around partially or super-cavitating hydrofoils by a potential based panel method, *Proceeding of Boundary Integral Methods*, Rome, Italy, October 15-19, 1990.
- [13] N. E. Fine and S. Kinnas, A boundary element method for the analysis of the flow around 3-D cavitating hydrofoils, *Journal of ship research*, Vol. 37, No. 3, pp. 213-224, 1993.
- [14] S. A. Kinnas and N. E. Fine, A numerical nonlinear analysis of the flow around two- and three-dimensional partially cavitating hydrofoils, *Journal of Fluid Mechanics*, Vol. 254, No. 3, pp. 151-181, 1993.
- [15] A. Varghese, J. Uhlman, and I. Kirschner, High-speed bodies in cavitating axisymmetric flow, *Fifth International Symposium on Cavitation*, Osaka, Japan, November 1-4, 2003.
- [16] I. Rashidi, H. Moin, M. Passandideh Fard, M. Pasandideh Fard, Numerical simulation of partial cavitation over axisymmetric bodies: VOF method vs. potential flow theory, *Journal of Aerospace Science and Technology*, Vol. 5, No. 1, pp. 23-33, 2008.
- [17] M. Norouzi, M. Javareshkian, M. Passandideh Fard, simulation of partial cavitation around projectiles with Circular and elliptical sections using boundary element method, *Iranian Journal of Mechanical Engineering Transactions of ISME*, Vol. 17, No. 1, pp. 40-67, 2016. (in Persian)
- [18] A. P. Keller, *Cavitation Scale Effects: A representation of its visual appearance and empirically found relations*, NASA, No. 19980020561, 1998.
- [19] K. R. Laberteaux, S. L. Ceccio, Partial cavity flows. Part 1. Cavities forming on models without spanwise variation, *Journal of Fluid Mechanics*, Vol. 431, No. 5, pp. 1-41, 2001.
- [20] J. S. Uhlman, A note on the development of a nonlinear axisymmetric reentrant jet cavitation model, *Journal of Ship Research*, Vol. 50, No. 4, pp. 259-267, 2006.
- [21] M. L. Billet, D. Weir, The effect of gas diffusion on the flow coefficient for a ventilated cavity, *Journal of Fluids Engineering*, Vol. 97, No. 4, pp. 501-505, 1975.
- [22] H. Rouse, J. S. McNow, Cavitation and pressure distribution: Head forms at zero angle of yaw, *Studies in Engineering*, Vol. 22, No. 1, pp. 501-509, 1948.
- [23] R. W. Fox, A. T. McDonald, P. J. Pritchard, *Introduction to Fluid Mechanics*, Sixth Edition, pp. 343, New York: Wiley, 2003.

تعادلی همگن استفاده گردید و با بکارگیری 8 هندسه مختلف، مطالعه کاملی بر روی خواص هیدرودینامیک کاویتانور سوراخ‌دار انجام گرفت. در روش المان مرزی با توزیع دوگان روی سطح جسم و کاویتی و توزیع چشمۀ سطح کاویتی شرایط برای استفاده از تئوری گرین در حل جریان‌های پتانسیل فراهم گشت. همچنین جهت اضافه کردن اثرات سوراخ تعدادی چشمۀ بر روی سطح کاویتانور قرار داده شد. سپس با استفاده از شروط مرزی مناسب معادلات مربوط بسط داده شده و برای هندسه‌های مختلفی حل گردیدند. مهمترین نتایج این کار تحقیقاتی را می‌توان به صورت موردی بیان کرد: (1) مقایسه نتایج کاویتانور مابین کاویتانور سوراخ‌دار و بدون سوراخ نشان می‌دهد که (الف) ابعاد کاویتی برای حالت سوراخ‌دار، در تمام اعداد کاویتانور کمتر از حالت بدون سوراخ بوده و هرچه قطر سوراخ بیشتر باشد این اثر بیشتر می‌شود. (ب) نیروی وارد بر پرتایه به ازای تمام هندسه‌های سوراخ بیشتر از حالت بدون سوراخ بوده و هرچه قطر افزایش پیدا کند نیروی کل وارد شده بر پرتایه هم زیادتر می‌شود. (2) افزایش قطر سوراخ موجب کاهش فشار در ناحیه ورودی و متعاقباً افزایش متوسط سرعت می‌شود. بنابراین دبی عبوری از سوراخ با افزایش قطر تحت تأثیر دو پدیده همسو قرار گرفته و به سرعت رشد می‌کند. (3) ایجاد انحنای در ناحیه ورودی لوله انتقال هیچگونه اثر منفی، از لحاظ ابعاد کاویتی و یا نیروی وارد بر پرتایه نداشته و موجب می‌شود (الف) نیرو بر روی کاویتانور بدون شکستگی و به صورت یکپارچه توزیع گردد. (ب) از شدت نوسانات اغتشاشی در داخل لوله تا حد زیادی کاسته شود. (4) با استفاده از روش المان مرزی معادلاتی برای حداقل طول و ضخامت کاویتی بر اساس دو متغیر مستقل عدد کاویتانور و قطر بدون بعد سوراخ برای هندسه استوانه سرتخت ارائه شد.

5- مراجع

- [1] W. Guoyu, I. Senocak, W. Shyy, T. Ikoagi, S. Cao, Dynamics of attached turbulent cavitating flows, *Progress in Aerospace Sciences*, Vol. 37, No. 6, pp. 551-581, 2001.
- [2] C. Merkle, J. Feng, P. Buelow, Computational modeling of the dynamics of sheet cavitation, *3rd International symposium on cavitation*, Grenoble , France , April 7-10, 1998.
- [3] R. F. Kunz, D. Boger, D. Stinebring, T. Chyczewski, J. Lindau, H. Gibeling, A preconditioned Navier-Stokes method for two-phase flows with application to cavitation prediction, *Computers & Fluids*, Vol. 29, No. 8, pp. 849-875, 2000.
- [4] P. J. Zwart, A. G. Gerber, T. Belamri, A two-phase flow model for predicting